

Liouville 方程式の初期値問題の近似計算

東大 理 金田 行雄

§1. 序

乱流理論における興味の中心は、レイノルズ数 R の大きさを、強い乱流ではある。しかし、 R の小さい場合、あるいは、 R -展開についてさえも解決済みとは言い難い。^[1] 又、 R -展開が強い乱流に関する何らかを与えないとも限らない。例えば、ある程度肯定的結果が報告されていり^[2]、Wyld 流のくりこみ、あるいは consolidation の方法は R -展開を基に作られる^[3]。どのような consolidation が有効かを調べるためにも、 R -展開をみやすくし、その性質を知ることが必要である。

ここでは、Burgers モデル方程式を例にとり、この R -展開を、Liouville 方程式の初期値問題を基として調べ、二、三の近似について、コメントする。（§3 は読みとばされても良い）

§2 外力のない場合

Burgers 方程式は、適当な無次元化と、フーリエ成分による表現で、次式のように与えられる。

$$\frac{\partial u_p}{\partial t} = -p^2 u_p + (-i)R \sum'_{q+r} \frac{1}{2} p u_q u_r \quad (1)$$

ここで、 p, q, r は波数、 \sum' は $p = q+r$ を満たす q, r の和を示めし、以下、波数の離散的あるいは連続的表現は、こち めらざに適宜併々分けることとする。(1)において、

$u_p = e^{-p^2 t} \cdot \omega_p$ と変換すれば (1) は次式となる。

$$\frac{\partial \omega_p}{\partial t} = -\frac{1}{2} i R \sum'_{q+r} p e^{2(q+r)t} \omega_q \omega_r \quad (2)$$

この $\omega \equiv (\dots, \omega_n, \dots, \omega_-, \omega_0, \omega_+, \dots, \omega_\infty \dots)$ の確率分布函数 P に対する Liouville 方程式は次式で与えられる。

$$\frac{\partial P}{\partial t} = -\sum_p \frac{\partial}{\partial \omega_p} (\omega_p P) = \tilde{Y}(t) P \quad (3)$$

$$\therefore \tilde{Y}(t) \equiv R \sum_p \sum'_{q+r} M(t) \partial_p \omega_q \omega_r \quad (4)$$

$$M(t) \equiv +\frac{1}{2} i p e^{2(q+r)t}, \quad \partial_p \equiv \frac{\partial}{\partial \omega_p} \quad (5)$$

(3) の解は

$$P(t) = \exp \left\{ \int_0^t \tilde{Y}(t') dt' \right\} P(0) \quad (6)$$

$$= \left[1 + \int_0^t \tilde{Y}(t') dt' + \frac{1}{2} \int_0^t \int_0^{t'} \tilde{Y}(t_1) \tilde{Y}(t_2) dt_1 dt_2 + \dots \right] P(0) \quad (7)$$

でえらぶ。ここで、 \leftarrow は時間の順序づけ演算を意味し、 $t_1 > t_2 > \dots$ のとき $Y(t_1)Y(t_2)\dots$ とする。 \rightarrow なら逆向き。図形的に表わすためには、例えば、 w を実線、 ω を波線、 M を点に対応させると、(4) は次のように表わせる

$$R \sum \sum' M \partial_p w_g w_r = \text{図} \quad , \quad -p + g + r = 0 \quad (8)$$

例題

例として、初期分布が Gaussian で

$$P(u, 0) \prod d\tilde{u} = N \prod \exp\left[-\frac{u_k u_{-k}}{\phi_k}\right] \prod d\tilde{u}_k = P(w, 0) \prod dw \quad (N \text{ は規格化因子})$$

でえらぶ時のエネルギー $E_a(t) = \langle u_a(t) u_{-a}(t) \rangle$ を考え
てみる。(7), (8) から

$$\begin{aligned} E_a(t) &= e^{-2a^2 t} \langle w_a(t) w_{-a}(t) \rangle = e^{-2a^2 t} \int \prod dw w_a w_{-a} P(w, t) \\ &= e^{-2a^2 t} \int \prod dw w_a w_{-a} [1 + R \cancel{w} + R^2 \cancel{w} \cancel{w} + \dots] P(w, t) \end{aligned}$$

となる。ただし、ここで時間積分、波数などの記号は省略した。これから、たとえば $O(R^2)$ の寄与は

$$R^2 e^{-2a^2 t} \left[8 \frac{a}{a-p} \frac{a}{p-a} \frac{p}{p-a} + 4 \frac{a}{a-p} \right] \quad (9)$$

で表現できることがわかる。ここで $\frac{g}{r}$ は $\langle u_g u_r \rangle$
 $= -\delta_{g,r}$, $\frac{g+r}{r}$ は $\langle u_g u_r \rangle = \delta_{g+r} \phi_g$, $\langle \rangle$ は
 $t=0$ における平均を意味する。 $\langle \partial u \rangle = 0$ に注意。

E といえば (9) の前者を数式で表現すると次のようになる。

$$R^2 e^{-2a^2 t} \cdot 8 \sum_p \int_0^t dt_1 \int_0^{t_1} dt_2 \left(+ \frac{i\alpha}{2} \right) e^{\alpha_1 t_1} \left(+ \frac{i\alpha}{2} \right) e^{\alpha_2 t_2} \phi(a-p) \phi(a) (-1)^2$$

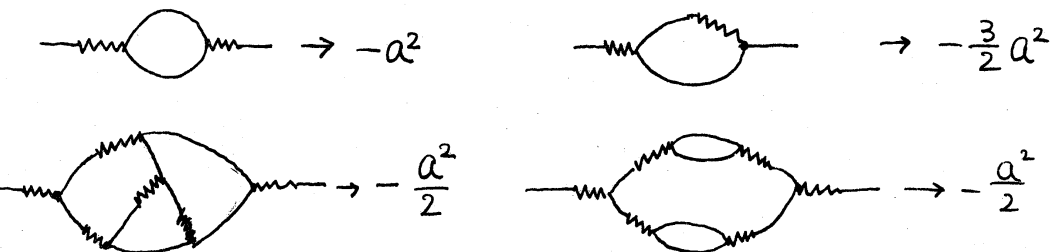
ただし, $\alpha_1 = p(a-p)$, $\alpha_2 = a(p-a)$

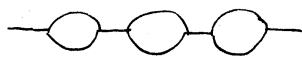
R の高次では、種々の图形が現われる。まず t_1, t_2, \dots, t_n の時間積分を実行すると、これらは次の型の寄与を与えることがわかる。(ひとつひとつの图形にはつづく)

$$e^{-2a^2 t} \sum_k e^{2a^2 t - \beta_k t} \left\{ \sum_{f_1} \sum_{f_2} \dots \sum_{f_n} \Phi(f_1, f_2, \dots, f_n) \exp \left[\left(- \sum_i r_i f_i^2 \right) t \right] \right\}$$

ここで、 $r_i = 0$ も 1 , β_k は適当な定数。これから $t \rightarrow \infty$ においては, { } による特異性が無視できるという仮定のもとで、この S のエネルギーへの寄与は、主要には $\{t\}$ の代数函数 $\times \exp \{-(\min \beta_k) t\}$ となることがわかる。

いくつかの图形につづいて $-\min \beta_k$ を示す。





$$\text{の型の } O(R^{2m}) \text{ の項} \rightarrow -\alpha^2 \quad (10)$$

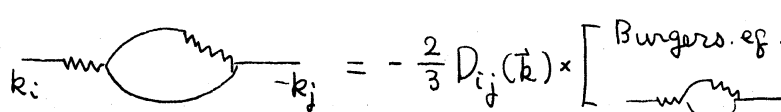


$$\text{, } \rightarrow -\frac{2\alpha^2}{m+1} \quad (11)$$

さて、ここで m は $-m$ あるいは ∞ のことと了解され。又、(10), (11) では m 印を省略した。

一般的に、 $\{ \}$ に関する、同じ仮定のもとに $O(R^{2m})$ の項は $t \rightarrow \infty$ で $O(R^{2m} e^{-\frac{2\alpha^2 t}{m+1}})$ となることわかる。

なお、等方性、Navier-Stokes、非圧縮乱流では、図形の対応は $\frac{k_i}{k_j} = D_{ij}(\vec{k}) \phi(k) \delta_{\vec{k}+\vec{q}}$, $m=0$, $\frac{k_i}{m k_j} = -D_{ij}(\vec{k}) \delta_{\vec{k}-\vec{q}}$, $D_{ij}(\vec{k}) \equiv \delta_{ij} - k_i k_j / k^2$, $k \equiv |\vec{k}|$ となり、
たとえば



$$k_i = -\frac{2}{3} D_{ij}(\vec{k}) \times \left[\begin{array}{c} \text{Burgers eq. と同じ意味の} \\ \text{---} \end{array} \right]$$

となる。

又、Burgers モデルで vertex のくりこみをするときの vertex の波数展開の一次の項はあり得ないのに對し、N-S ではあり得ることを附記しておく。

§ 3 外力のある場合

$t \rightarrow \infty$ あるいは定常での状態を問題とするには、外力が必要である。 (1) 式に外力の項 f_p を付加すると次式のようになる。

$$\frac{\partial u_p}{\partial t} = -p^2 u_p - iR \sum' p u_q u_r + f_p$$

今、Edwards^[4]に従って f_p が Gaussian の偶然外力である。との相関が次のように与えられる特別の場合を考える。

$$\langle f_p(t) f_{p'}(t') \rangle = h_p \delta(p+p') \delta(t-t') \quad (12)$$

$(h_p$ は定数)

この時、 u の確率分布函数 P につれての Liouville 方程式は

$$\frac{\partial P}{\partial t} = (V + D + Y) P = (X + Y) P \quad (13)$$

$$V = \sum_p \frac{\partial}{\partial u_p} p^2 u_p, \quad D = \sum_p h_p \frac{\partial}{\partial u_p} \frac{\partial}{\partial u_p}$$

$$Y = +R \sum_p \sum'_{q,r} \left(\frac{+ip}{2} \right) \frac{\partial}{\partial u_p} u_q u_r, \quad X = V + D$$

となる。これは、いわば、無限次元の Fokker-Planck 方程式である。(12) は強い制限ではある。現実的には、 f は(1)境界条件による制限を受け、(2)速度場 u に依存し、(3)履歴効果もあるであろう。(2)の要因を取り入れるのが最も困難と思われる。こゝでは、“思考実験としてあり得る” (12) を考える。

さて (13) の解は $P = e^{(X+Y)t} P(0)$, $P(0)$ は初期分布。

$$= \exp \left\{ \int_0^t Z(t') dt' \right\} e^{xt} P(0)$$

$\therefore Z(t) = e^{tx} Y e^{-tx} = \left(\sum \frac{t^n}{n!} Y_n \right).$

$$Y_n = [X[X[\cdots [X[Y] \underbrace{\cdots}_{n}], \quad [X, Y] = XY - YX$$

で $Z(t)$ は $[\partial_p, u_q] = \partial_p u_q - u_q \partial_p = \delta_{p,q}$ を使
て、具体的に表現できます。

$$Y_n = \sum_p \sum_q \left[\alpha_n \partial_p u_q u_r + \beta_n \partial_p \partial_q u_r + \gamma_n \partial_p \partial_r u_q + \delta_n \partial_p \partial_q \partial_r \right] R$$

$$\alpha_{n+1} = (-p^2 + q^2 + r^2) \alpha_n$$

$$\beta_{n+1} = (-p^2 - q^2 + r^2) \beta_n + 2h(q) \alpha_n$$

$$\gamma_{n+1} = (-p^2 + q^2 - r^2) \gamma_n + 2h(r) \alpha_n$$

$$\delta_{n+1} = (-p^2 - q^2 - r^2) \delta_n + 2(h(r)\beta_n + h(q)\gamma_n)$$

$$T = T^* \text{ 且 } h(0) = 0 \text{ と } T.$$

$$2Z(t) = R \sum \sum \left[M_u(t) \partial_p u_q u_r + A(t) \partial_p \partial_q u_r + B(t) \partial_p \partial_r u_q + C(t) \partial_p \partial_q \partial_r \right]$$

$\therefore Z(t) = +ip e^{2qr t}$

$$A(t) = h(q) [e^{-2qr t} (1 - e^{-2qr t})] / q^2, \quad B(t) = (A \text{ で } p \leftrightarrow q)$$

$$C(t) = -(p^2 + q^2 + r^2) C(t) + 2(h(r)A(t) + h(q)B(t)), \quad C(0) = 0.$$

2. $e^{xt} P(0)$ を具体的に表現できます。(5)

§2 に類似の、图形による表現ができることは、いうまで
もない。たゞし、これは $\underline{P} \underline{q}$ は $\delta_{p+q} \phi(q) e^{-2q^2 t}$
に対応させるなどの違いはある。

なお、R の2次以上で、みかけ上発散が起る。(計算に
間違いがなければ！？)。これは、あくまで、みかけ上の
ことで、実際は各次数で cancel するものと予想される。

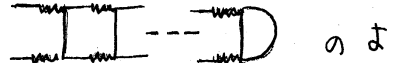
§4 二、三の近似について

この節では、二、三の、興味あると思われる近似について
若干のコメントをしたい。

(A) くりこみ。consolidation

場の理論や、物性論における“くりこみ”に似たもので
ある。順序としては、いきなり非線型の近似式にしないで
まず、線型近似の、性質を調べるものも、妥当である。

(1) 線型近似、はしご近似など

たとえば  のような、はしご段型の因
形だけを、全部加えEの $\Phi(a,t) \equiv \text{---}$ は次のように
表わせる。

$$\text{---} = \text{---} + 4 R^2 \text{---} \quad (14)$$

即ち、

$$\Phi(a,t) = \phi(a) + R^2 \int_0^t dt_1 \int_0^{t_1} dt_2 (ia)(-ia) e^{\alpha_1 t_1 + \alpha_2 t_2} \Phi(a-p) \Phi(a-t_2)$$

$$E \rightarrow \text{し}, \alpha_1 = \alpha_2 = 2p(a-p)$$

又、Eとえは  の型のみを加えると

$$\text{-----} = \text{---} + 8R^2 \text{---} \quad (15)$$

となる。 $(10), (11)$ Eのみとし、 (14) のほうが、少なくとも
 (15) より、 $t \rightarrow \infty$ では良い近似を与えるようである。

(2) 高次のくりこみ。

非線型を厭うなけば、更にたくさんのが形を取り入れることはできる。ここでは、一例を示します。既約な骨格として  型だけに注目して、更にその一部だけを、取り込んだのが次式である。

$$\text{---} = \text{---} + R^2 \left[4 \times \text{---} + 8 \times \text{---} \right]$$

即ち、

$$\Phi(a,t) = \phi(a) + R^2 \int_0^t dt_1 \int_0^{t_1} dt_2 \int dp \left[a^2 e^{\alpha_1 t_1 + \alpha_2 t_2} \Phi(a,t_2) \Phi(a-p,t_2) \right.$$

$$\left. + 2a(p-a) e^{\alpha_3 t_1 + \alpha_4 t_2} \Phi(p,t_2) \Phi(a,t_2) \right]$$

$\therefore \alpha_1 = \alpha_2 = 2p(a-p), \alpha_3 = p(a-p), \alpha_4 = a(p-a)$ [6]
これは、いわゆる、0-4次 Cumulant 近似と同じ式である。

 型の全部を、取り入れてはいなさいと、時間因数の入り方が問題であることを、に注意されたい。

$O(R^2)$ までには正確である。

(B) その他

R -展開の収束半径の有無, pade 近似にも興味がある。なお, §3 の定常問題の R -展開で $O(R^2)$ まで, とて, pade 近似と一種のくりこみを併用すると, Edwards と良く似た結果がでる, $(k^{-\frac{1}{2}} t)$ 。これを附記しておこう。([4] の記号で $g_k = (h_k + S_k)/(v k^2 + R_k)$ として $O(R^2)$ まで同一になるように $\sqrt{\cdot} \leftrightarrow \omega_{\text{un}}$, $R \leftrightarrow -\omega$ に対応させよ。)

§2, §3 の方法は Hopf 方程式や Novikov 方程式にも同様に適用できる。特性函数 $P(s)$ の R -展開から, その Cumulant $\Psi(s) = \ln P(s)$ を近似する方法も参考されよう。

以上 (A)(B) の方法は, 勿論, それ自体では, なんら正当性を主張するものではない。たゞ, 多くの近似が, 図形的には, 何らかの意味で \square 型で解釈されるのは, おもしろい。

§5. 比較, その他

(1). §2, §3 の方法は他の方法 ((E) Edwards, (W) Wyld, (D) Deissler) ([9]) と比べて, 若干の利点がある。まず, 「初期値問題を具体的に計算するのに簡単か?」と云う点で,

(E), (W) よりも良い、と思われる。(W) は初期に正規分布でない、特に、ますいと思われる。 \bar{u} については重ね合せがきかない。それに反して、P(U) については重ね合せがきくことに注意されたい。又、(D) では图形表現による簡単化、外力のある場合の定式化がなされていない、といふ点で、§2, §3 の方法は (1) より良いと思われる。欠点としては、§3 で少なくともみかけ上の、飛散を招いてしまふこと、時間因子の対称化がされていないこと、が挙げられる。

(2) ここで問題は、量子論での散乱問題や、物性論における有限温度の問題と類似の一面をもつ。しかし、類似は完全ではない。詳細は省略する。不变性、対称性等の要求を最大限利用することも必要である。

(3) 最後に、ここでの Burgers モデルは、一般的な非線型、開放、不可逆系の一つの典型的な、「純数学的モデル」としての位置づけもあり得ることを、附記しておきたい。（その意味では、一般的にいえど、近似技術の開発も望まれる。）決定論的“力”と確率論的“力”的素性や、決定系における“てらみ”的おいたち、などに興味がもたられる。

Reference

- [1] Ohji, M. 數理研講究録 185, p112 (1973)

- R.H.Kraichnan, Symp.Dynamics of Fluids and Plasmas.
Acad.Press, 239 (1967)
- [2] J.B.Morton and S.Corrin, J.Stat.Phys. 2, 153 (1970)
- [3] H.W.Wyld, Jr.Ann.Phys. (N.Y.) 14, 143 (1961)
- [4] S.F.Edwards, J.F.M. 18, 239 (1964)
- [5] Ming Chen Wang and G.E.Uhlenbeck Noise and Stochastic
Processes,ed. by N.Wax,Dover Publications, 113 (1954)
- [6] T.Tatsumi and S.Kida, 數理研講究録 185, 79, (1973)
- [7] K.Yamamoto,T.Nakamura and I.Hosokawa,
數理研講究録 171, 8, (1973)
- [8] R.Phythian, J.Phys. A2,181 (1969)
P.C.Martin,E.D.Siggia and H.A.Rose, Phys.Rev. A8,423 (1973)
D.C.Leslie, Developements in the theory ^{of} turbulence.
Clarendon Press, (1973)
- [9] R.G.Deissler, Phys.Fluids, 1,111, (1958)
R.G.Deissler, Phys.Fluids, 3,176, (1960)